

Étude critique d'une méthode de Machine Learning appliquée à l'analyse par canaux auxiliaires

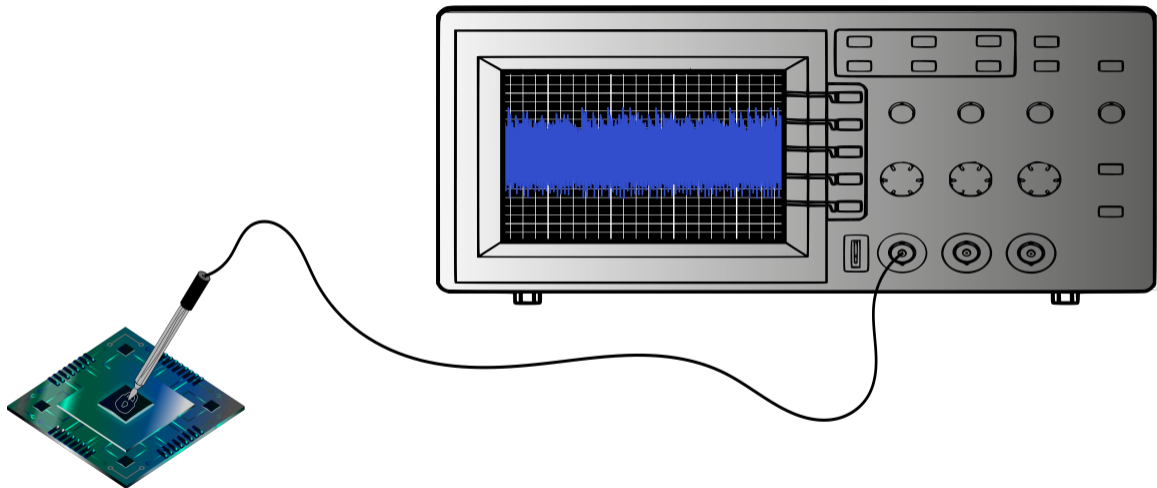
Sana Boussam, Julien Eynard, Guénaël Renault et Gabriel Zaid

THALES



Inria
INVENTEURS DU MONDE NUMÉRIQUE

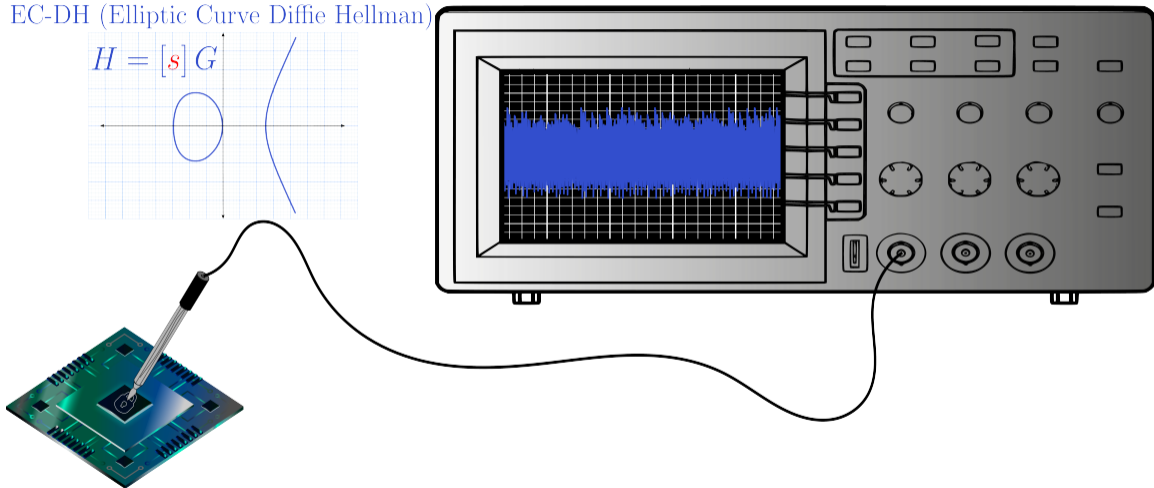
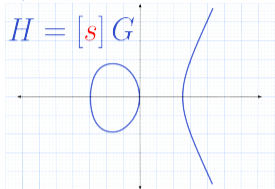
- 1 Introduction
- 2 Détails sur l'IFSCA
- 3 Étude critique de l'IFSCA
- 4 Conclusion



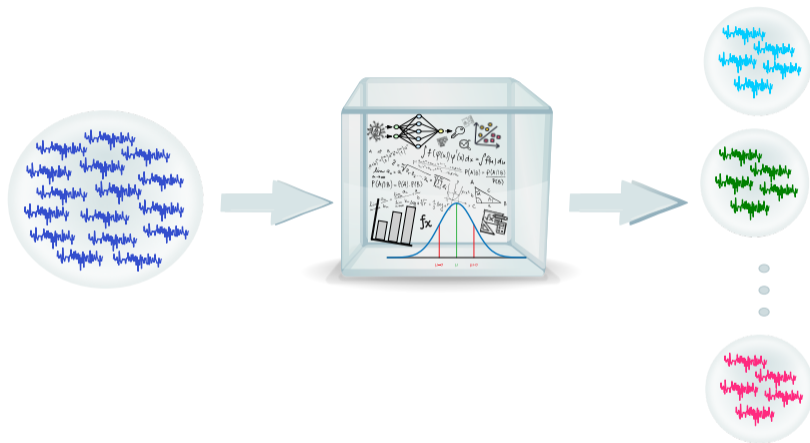
Attaques par canaux auxiliaires (SCA)

Introduction

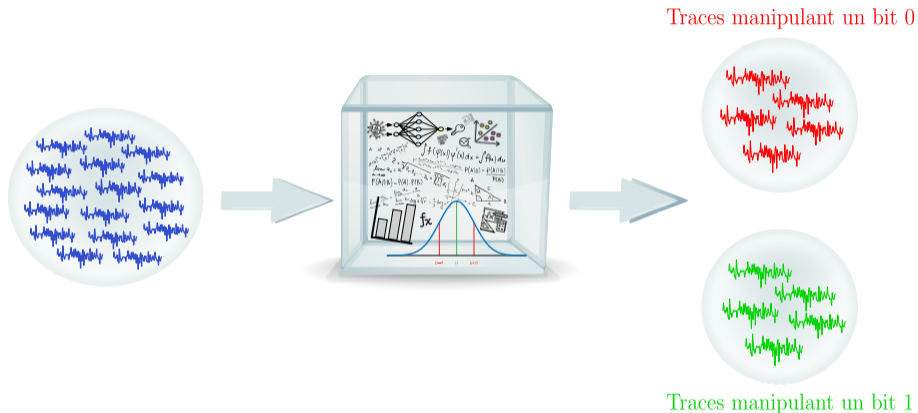
EC-DH (Elliptic Curve Diffie Hellman)



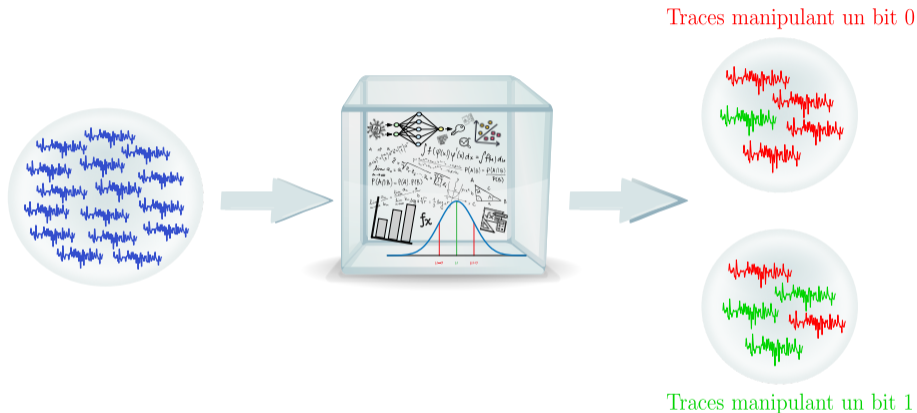
Attaques par canaux auxiliaires (SCA)



Problème d'étiquetage - Application aux attaques par canaux auxiliaires (SCA)

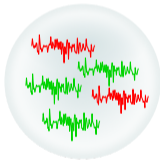
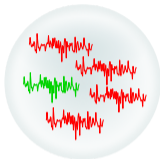


Problème d'étiquetage - Application aux attaques par canaux auxiliaires (SCA)

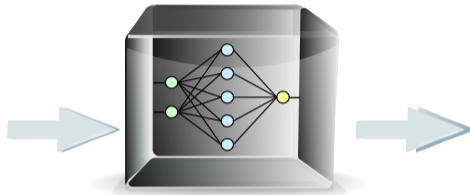


Problème d'étiquetage - Application aux attaques par canaux auxiliaires (SCA)

Traces manipulant un bit 0

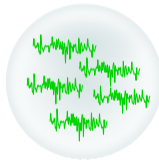
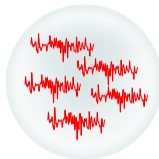


Traces manipulant un bit 1



Keep It Unsupervised :
Horizontal Attacks Meet
Deep Learning [PCBP20]
présenté à CHES en 2021

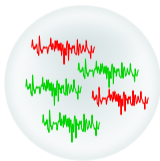
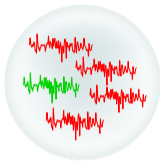
Traces manipulant un bit 0



Traces manipulant un bit 1

Problème d'étiquetage - Proposition d'une méthode corrective appliquée aux SCA

Traces manipulant un bit 0



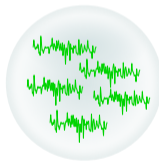
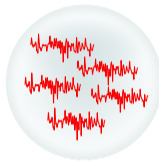
Traces manipulant un bit 1



Keep It Unsupervised :
Horizontal Attacks Meet
Deep Learning [PCBP20]
présenté à CHES en 2021



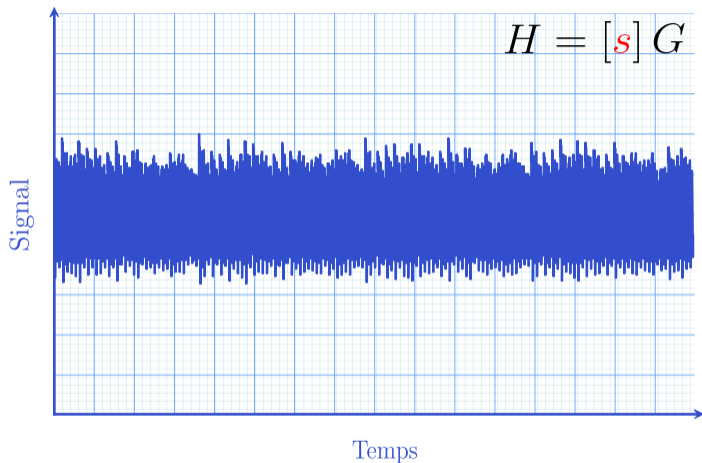
Traces manipulant un bit 0



Traces manipulant un bit 1

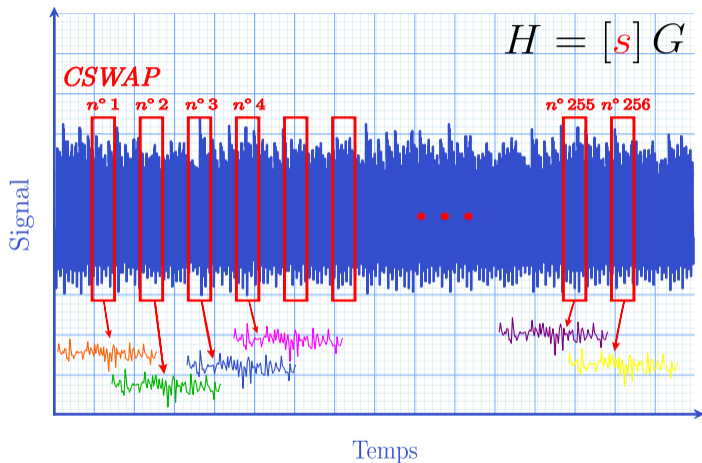
Problème d'étiquetage - Proposition d'une méthode corrective appliquée aux SCA

- 1 Introduction
- 2 Détails sur l'IFSCA**
- 3 Étude critique de l'IFSCA
- 4 Conclusion

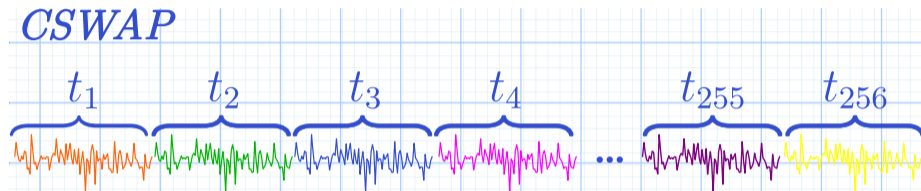


Trace d'une exécution complète d'une multiplication scalaire (courbe elliptique)

Identification de la cible



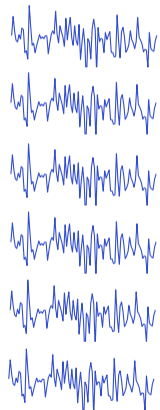
Récupération des traces correspondant à l'exécution d'un CSWAP



- Une trace correspond à la concaténation des 256 CSWAPs
- Chaque portion de trace t_i est échantillonnée sur 1000 points et correspond à la manipulation du i -ème bit de s
- Attaque bit par bit pour retrouver le scalaire s de 256 bits

Vue d'ensemble de l'attaque

CSWAP



Applying Horizontal Clustering
Side-Channel Attacks on Embedded
ECC Implementations
Nascimento, Chmielewski [NC17]

Keep It Unsupervised : Horizontal
Attacks Meet Deep Learning
*Perin, Chmielewski,
Batina, Picek [PCBP20]*

Etape 1 : Labellisation
des traces

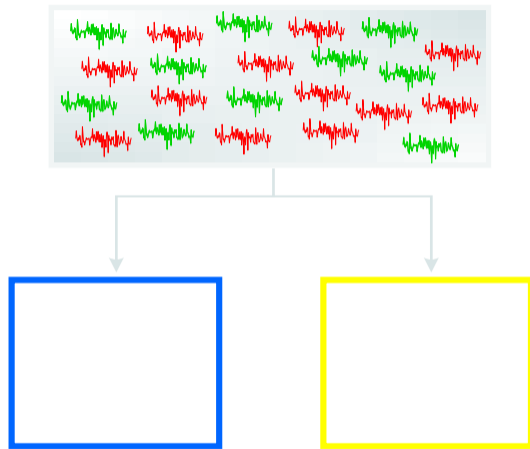
Etape 2 : Correction
des labels

Traces
manipulant
un bit 0

Traces
manipulant
un bit 1

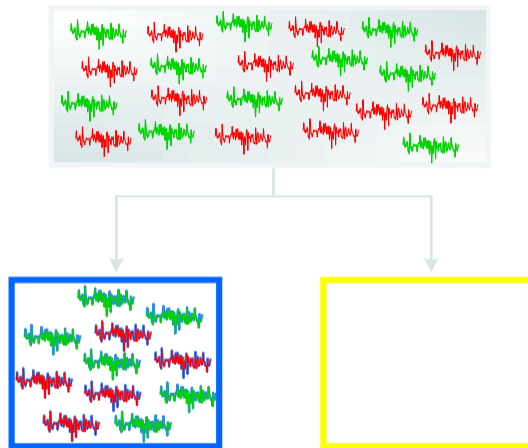
Attaque Complète - IFSCA

Présentation IFSCA - Étape 1



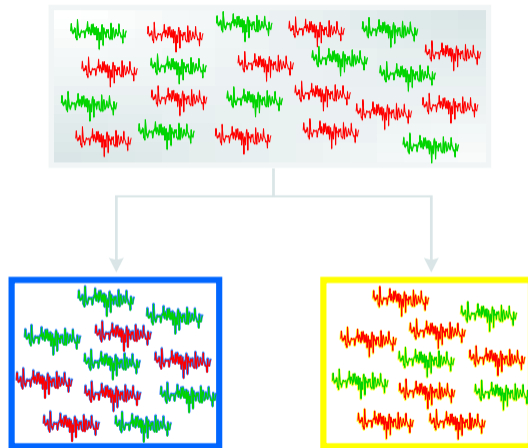
Étape 1 - Division du dataset \mathcal{D} en deux sous-ensembles \mathcal{D}_1 (bleu) et \mathcal{D}_2 (jaune)

Présentation IFSCA - Étape 1

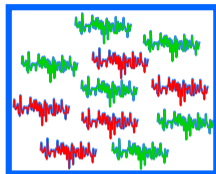


Étape 1 - Division du dataset \mathcal{D} en deux sous-ensembles \mathcal{D}_1 (bleu) et \mathcal{D}_2 (jaune)

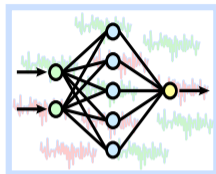
Présentation IFSCA - Étape 1



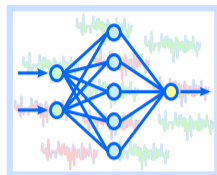
Étape 1 - Division du dataset \mathcal{D} en deux sous-ensembles \mathcal{D}_1 (bleu) et \mathcal{D}_2 (jaune)



Étape 2 - Entraînement sur le dataset \mathcal{D}_1 (bleu) puis relabellisation du dataset \mathcal{D}_2 (jaune)

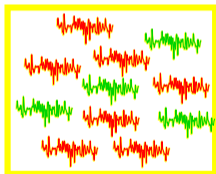
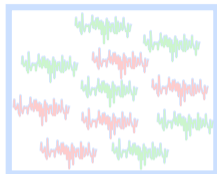


Étape 2 - Entraînement sur le dataset \mathcal{D}_1 (bleu) puis relabellisation du dataset \mathcal{D}_2 (jaune)



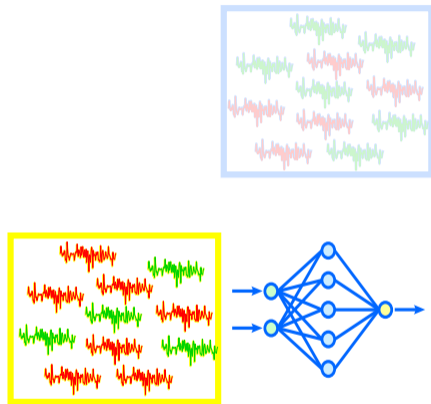
Étape 2 - Entraînement sur le dataset \mathcal{D}_1 (bleu) puis relabellisation du dataset \mathcal{D}_2 (jaune)

Présentation IFSCA - Étape 2



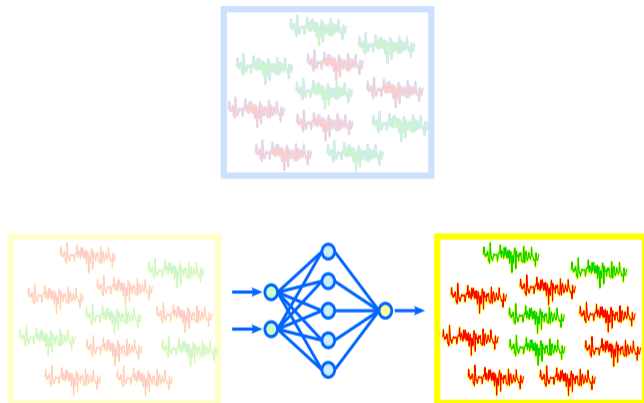
Étape 2 - Entraînement sur le dataset \mathcal{D}_1 (bleu) puis relabellisation du dataset \mathcal{D}_2 (jaune)

Présentation IFSCA - Étape 2

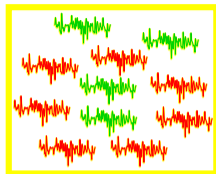


Étape 2 - Entraînement sur le dataset \mathcal{D}_1 (bleu) puis relabellisation du dataset \mathcal{D}_2 (jaune)

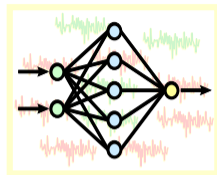
Présentation IFSCA - Étape 2



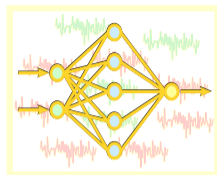
Étape 2 - Entraînement sur le dataset \mathcal{D}_1 (bleu) puis relabellisation du dataset \mathcal{D}_2 (jaune)



Étape 3 - Entraînement sur le dataset \mathcal{D}_2 (jaune) puis relabellisation du dataset \mathcal{D}_1 (bleu)

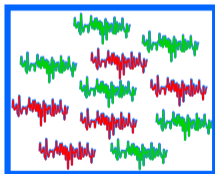
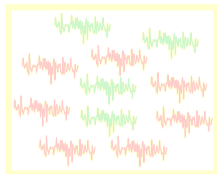


Étape 3 - Entraînement sur le dataset \mathcal{D}_2 (jaune) puis relabellisation du dataset \mathcal{D}_1 (bleu)



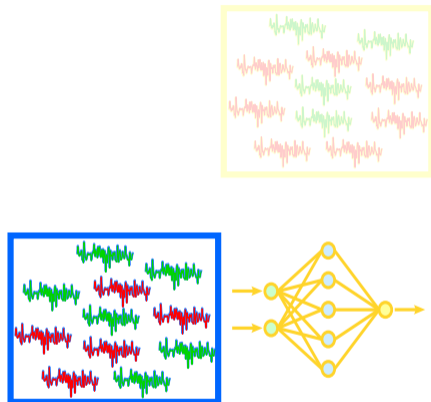
Étape 3 - Entraînement sur le dataset \mathcal{D}_2 (jaune) puis relabellisation du dataset \mathcal{D}_1 (bleu)

Présentation IFSCA - Étape 3



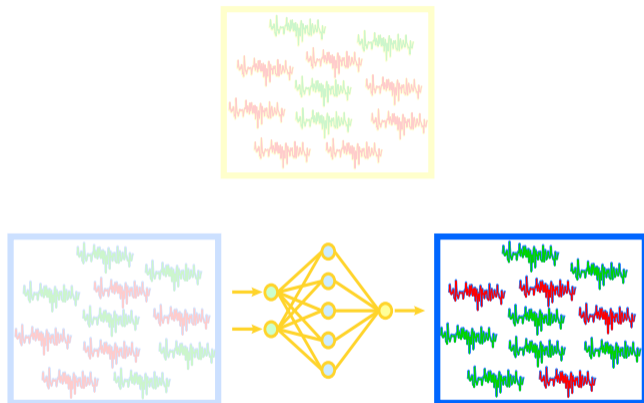
Étape 3 - Entraînement sur le dataset \mathcal{D}_2 (jaune) puis relabellisation du dataset \mathcal{D}_1 (bleu)

Présentation IFSCA - Étape 3

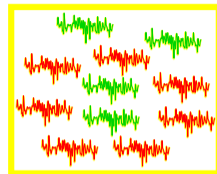
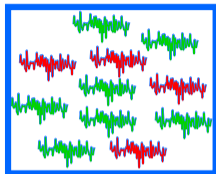


Étape 3 - Entraînement sur le dataset \mathcal{D}_2 (jaune) puis relabellisation du dataset \mathcal{D}_1 (bleu)

Présentation IFSCA - Étape 3

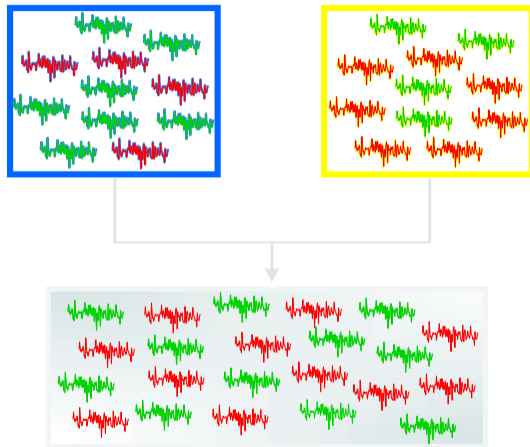


Étape 3 - Entraînement sur le dataset \mathcal{D}_2 (jaune) puis relabellisation du dataset \mathcal{D}_1 (bleu)



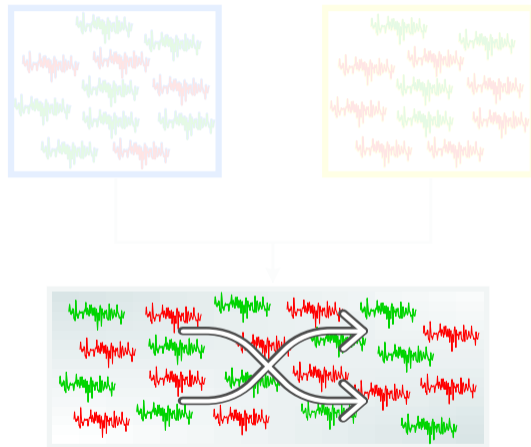
Étape 4 - Fusion des deux sous-ensembles \mathcal{D}_1 (bleu) et \mathcal{D}_2 (jaune)

Présentation IFSCA - Étape 4



Étape 4 - Fusion des deux sous-ensembles \mathcal{D}_1 (bleu) et \mathcal{D}_2 (jaune)

Présentation IFSCA - Étape 4



Étape 4 - Fusion des deux sous-ensembles \mathcal{D}_1 (bleu) et \mathcal{D}_2 (jaune)

Résultats obtenus

| | Précision moyenne | Précision maximale |
|---|-------------------|--------------------|
| Sortie de la phase de pré-labellisation | 52.24% | 59.22% |
| Application IFSCA | 91% | 100% |

| | Précision moyenne | Précision globale |
|--|-------------------|-------------------|
| Sortie de la phase de pré-labelisation | 52.24% | 59% |
| Application IFSCA | 91% | |

- $\sim 55\% \rightarrow \sim 100\%$?
- Approche aussi générique que prétendue ?



- 1 Introduction
- 2 Détails sur l'IFSCA
- 3 Étude critique de l'IFSCA**
- 4 Conclusion

| | Précision moyenne | Précision maximale |
|---|-------------------|--------------------|
| Sortie de la phase de pré-labellisation | 52.24% | 59.22% |
| IFSCA sans régularisation | 85% | 97.64% |
| IFSCA avec régularisation | 91% | 100% |

| | Précision moyenne | Précision maximale |
|---|-------------------|--------------------|
| Sortie de la phase de pré-labellisation | 52.24% | 59.22% |
| IFSCA sans régularisation | 85% | 97.64% |
| IFSCA avec régularisation | 91% | 100% |

| | Précision moyenne | Précision maximale |
|---|-------------------|--------------------|
| Sortie de la phase de pré-labellisation | 52.24% | 59.22% |
| IFSCA sans régularisation | 85% | 97.64% |
| IFSCA avec régularisation | 91% | 100% |

| | Précision moyenne | Précision maximale |
|---|-------------------|--------------------|
| Sortie de la phase de pré-labellisation | 52.24% | 59.22% |
| IFSCA sans régularisation | 85% | 97.64% |
| IFSCA avec régularisation | 91% | 100% |

Notre hypothèse : Le réseau utilisé dans l'IFSCA est trop complexe.

Étude critique de l'IFSCA

| Couches | cswap_pointer |
|----------------|-----------------------|
| Entrées | traces de 1000 points |
| Conv1D_1 | 8 filtres |
| Conv1D_2 | 16 filtres |
| Conv1D_3 | 32 filtres |
| Dense_1 | 100 neurones |
| Dense_2 | 100 neurones |
| <i>Softmax</i> | 2 neurones |

Architecture du CNN utilisée dans l'IFSCA

Étude critique de l'IFSCA

| Couches | cswap_pointer |
|----------------|-----------------------|
| Entrées | traces de 1000 points |
| Conv1D_1 | 8 filtres |
| Conv1D_2 | 16 filtres |
| Conv1D_3 | 32 filtres |
| Dense_1 | 100 neurones |
| Dense_2 | 100 neurones |
| <i>Softmax</i> | 2 neurones |

Architecture du CNN utilisée dans l'IFSCA



Ce modèle semble
beaucoup trop complexe

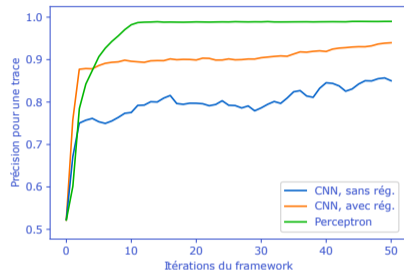
Étude critique de l'IFSCA

| Couches | cswap_pointer |
|----------------|-----------------------|
| Entrées | traces de 1000 points |
| Conv1D_1 | 8 filtres |
| Conv1D_2 | 16 filtres |
| Conv1D_3 | 32 filtres |
| Dense_1 | 100 neurones |
| Dense_2 | 100 neurones |
| <i>Softmax</i> | 2 neurones |

Architecture du CNN utilisée dans l'IFSCA

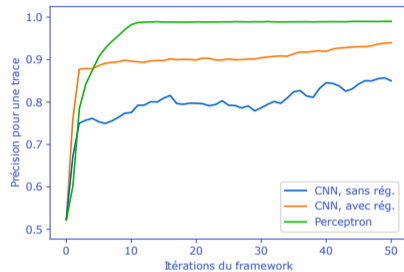
| Couches | cswap_pointer |
|----------------|-----------------------|
| Entrées | traces de 1000 points |
| <i>Sigmoid</i> | 1 neurone |

Architecture proposée - Perceptron



Comparaison des performances des réseaux de neurones

Étude critique de l'IFSCA



Comparaison des performances des réseaux de neurones

| | CNN (IFSCA) | Perceptron |
|--------------------|-------------|------------|
| Nb. de paramètres | 45 978 | 1 001 |
| Temps de l'attaque | 75 min. | 5 min. |

Proposition d'une approche alternative

Algorithme : Attaque alternative proposée

Entrées : Traces d'exécution

Sorties : Un scalaire entièrement reconstitué

pour chaque *instant temporel* $p = 1..1000$ **faire**

Application d'une k -moyenne sur les traces au point p pour les labelliser

pour chaque $j = 0..9$ **faire** // 9 bits à corriger par trace maximum (recherche exhaustive calibrée)

pour chaque *trace complète* **faire**

 Correction des j bits

si Requête à l'Oracle = *SUCCESS* **alors**

retourner Scalaire trouvé

fin

fin

fin

fin

Proposition d'une approche alternative

Algorithme : Attaque alternative proposée

Entrées : Traces d'exécution

Sorties : Un scalaire entièrement reconstitué

```
pour chaque instant temporel  $n = 1..1000$  faire  
  Application d'une fonction moyenne sur les traces au point  $y$  pour les labéliser  
  pour chaque  $j = 0..9$  faire // 9 bits à corriger par trace maximum (recherche exhaustive calibrée)  
    pour chaque  $i = 0..9$  faire // 10 bits à corriger par trace maximum (recherche exhaustive calibrée)  
      Correction des  $j$  bits  
      si Requête à l'Oracle = Success alors  
        retourner Scalaire  
      fin  
    fin  
  fin  
fin
```

→ Complexité totale de l'attaque inférieure à 2^{70}

→ Au point temporel 643, précision maximale de **97.68%**
soit **6 bits à corriger** (environ 2^{39} tests)
⇒ **Données biaisées**

- 1 Introduction
- 2 Détails sur l'IFSCA
- 3 Étude critique de l'IFSCA
- 4 Conclusion**

- L'approche présentée dans [PCBP20] est **trop compliquée** pour le jeu de données considéré
- Une **utilisation réfléchie** des outils de *machine learning* est nécessaire pour obtenir de meilleurs résultats, qui soient plus interprétables [Cag18, Mas20, Zai21]

- Pour plus d'informations concernant cette présentation : voir l'article associé
- Pour aller encore plus loin : étude plus poussée de l'IFSCA faite en collaboration avec le CEA-Leti en cours de parution



Merci de votre attention !

Contact: `sana.boussam@inria.fr`



Eleonora Cagli.

Feature Extraction for Side-Channel Attacks. (Extraction de caractéristiques pour les attaques par canaux auxiliaires).

PhD thesis, Sorbonne University, France, 2018.



Loïc Masure.

Towards a better comprehension of deep learning for side-channel analysis. (Vers une meilleure compréhension de l'apprentissage profond appliqué aux attaques par observations).

PhD thesis, Sorbonne University, Paris, France, 2020.

 Erick Nascimento and Łukasz Chmielewski.

Applying Horizontal Clustering Side-Channel Attacks on Embedded ECC Implementations. In Thomas Eisenbarth and Yannick Teglia, editors, *Smart Card Research and Advanced Applications*, Lecture Notes in Computer Science, pages 213–231, Cham, 2017. Springer International Publishing.

 Guilherme Perin, Łukasz Chmielewski, Lejla Batina, and Stjepan Picek.

Keep it Unsupervised : Horizontal Attacks Meet Deep Learning. *IACR Transactions on Cryptographic Hardware and Embedded Systems*, pages 343–372, December 2020.

 Gabriel Zaid.

Bridging Deep Learning and Classical Profiled Side-Channel Attacks. (Rapprochement de l'apprentissage profond et des attaques par canaux auxiliaires).
PhD thesis, University of Lyon, France, 2021.